

(« »)

-

(03.03.02 –):

_____ .
«_____» _____ 201_ .

:

211

_____ . . .
(,)

, . - .

_____ . . .
(,)

, . - .

_____ . . .
(,)

2016

(« »)

-

_____ .
«_____» _____ 201_ .

-

1. _____ : _____ -

(03.06.16 1215-)

2. _____ : 14 _____ 2016 .

3. _____ : _____ -

_____ , _____ « _____ -

» « _____ »; **MathCAD**; _____ - .

4. _____ (_____ -

) : _____ , _____ -

_____ , _____ -

_____ ; _____ -

_____ ; _____ -

_____ .

5. _____ : (_____ , _____ , _____ ,

_____ , _____ , _____ .) : _____ -

6. _____ (_____ -

) : _____

7. _____ : 11.05.2016

: _____

(, . - .)

(): 11.05.2016

()

43 ., 32 , 18 , 4 , 20 -

.

- , , -

, , -

, , -

-

.

-

-

.

: -

(), , , , .

.

-

-

.

		6
1.		8
1.1		8
1.2	[0,2)	13
1.3		14
1.4	,	16
1.5		17
2.		20
2.1		20
2.2		21
2.3		24
3.		26
4.		31
		41
		42

2.

-

3.

.

1

1.1

— () —
 .
 ,
 () ()
 .
 ,
 ,
 ,
 .

с [1]:

$$\alpha^p = p \frac{\lambda}{d}, \tag{1}$$

$= 0, \pm 1, \pm 2, \dots, -$, d - пе , - .

инте ивно опре :

$$I(\alpha^p) \sim \left(\frac{\sin(a\alpha^p)}{a\alpha^p} \right)^2 \approx \frac{1}{(2p+1)^2}, \tag{2}$$

$$a = \frac{\pi d}{2\lambda} .$$

- , -

10% [1].

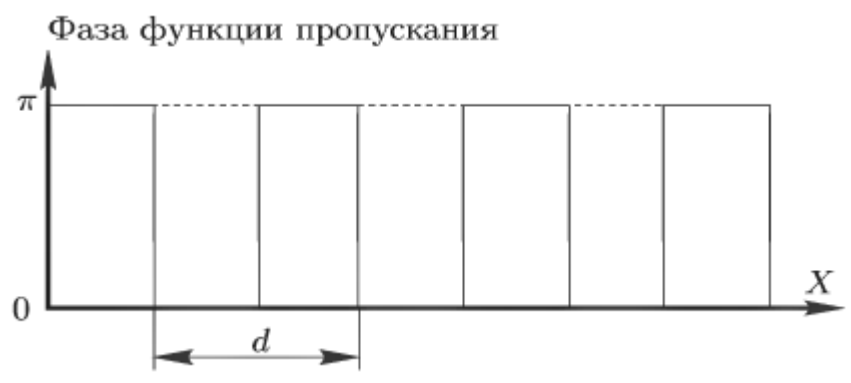
, . -
 , -
 . (1-D)
 4 [2]. -

1.



1 -

(
) , d
 (2).



2 -

(2-D) -
 ().

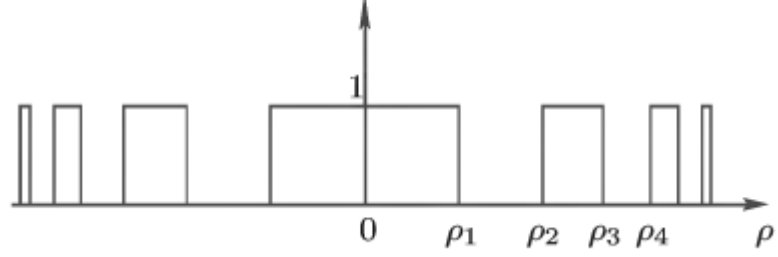
3

4 —



3 —

Функция пропускания света



4 —

[1].

ель их целых чисел [3]:

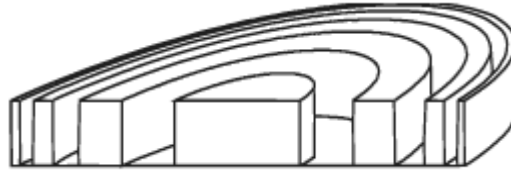
$$\rho_p = \sqrt{p\lambda f}, \tag{3}$$

f

2-D

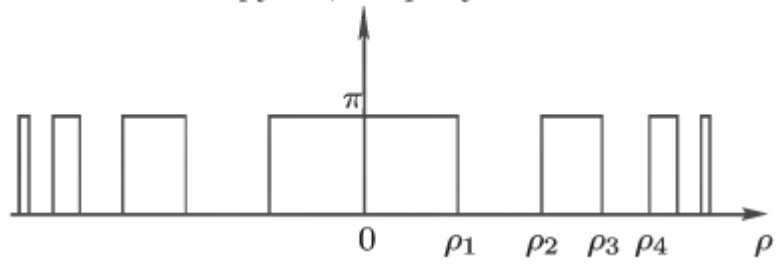
5

6.



5 -

Фаза функции пропускания



6 -

$f_{-2}, f_{-1}, f_0, f_1, f_2$

(КАМ Д -Т

[1]:

$$f_n = \frac{f}{2n+1}, \quad (4)$$

$n = 0, \pm 1, \pm 2, \dots$

π -

у [1]:

$$I_{2n+1} = \frac{4\pi}{\pi^2} \frac{1}{(2n+1)^2}. \quad (5)$$

« » , 1-D -

, . -

« ».

2-D -

, -

.

, .

.

1967 . 2-D -

, -

. -

, -

(,).

(,),

2-D ,

, .

.

[4].

.

2-D . -

[4].

1.2

[0,2)

(,)

(u,v)[5].

(\mathbf{u}), $\mathbf{u} = (u,v)$ —

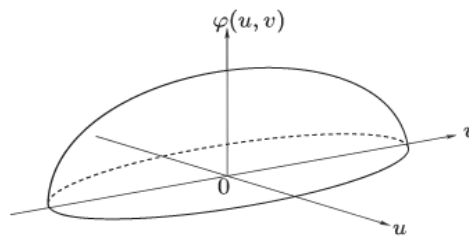
дой $W_0(\mathbf{u})$ зади оптичес

[5]:

$$W(\mathbf{u}) = \exp[i\varphi(\mathbf{u})]W_0(\mathbf{u}).$$

(6)

7



7 —

2 .
0 2 .

0
(6)

2 ,

[0,2].

[1]:

$$\Phi = \text{mod}_{2\pi\varphi}, \quad (7)$$

$$\text{mod}_{2\pi\varphi} = \varphi - 2\pi j \quad 2 \quad (+1)2, \quad j=0, \pm 1, \pm 2, \dots$$

кается отнош м:

$$T \equiv \exp(i\Phi) = \exp(i\varphi). \quad (8)$$

1.3

[1]:

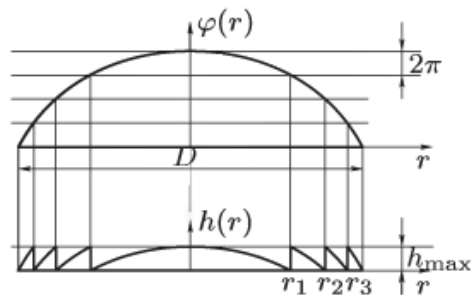
$$\varphi(u, v) = \varphi(r) = -k \frac{u^2 + v^2}{2f}, \quad (9)$$

$r \leq \frac{D}{2}$, $k = \frac{2\pi}{\lambda}$, k — ; f — ; D —

$$; r = \sqrt{u^2 + v^2}.$$

..... (9) [0,2)

8.



8 —

[0,2)

н, -

[1]:

$$h_{max} = \frac{\lambda}{n-1}. \quad (10)$$

Радиусы зон Френе:

$$\varphi(r_j) = -2\pi j, \quad (11)$$

а следует что

$$r_j = \sqrt{2\lambda f j}. \quad (12)$$

где F — число Френеля, $r_{j0} \leq D/2$ и $F \gg 1$.
 Определяется соотношением:

$$F = \left\lceil \frac{D^2}{8\lambda f} \right\rceil, \quad (13)$$

где

— число Френеля, F — целое число, большее или равное F .

$$\Delta j = r_j - r_{j-1}, j = \overline{1, F}, \text{ яв-}$$

ляется разностью радиусов зон Френе, в данной

технологии

функция $\varphi(u, v)$ может

быть представлена в виде

[1]:

$$\Delta = \frac{2\pi m}{\max|\nabla \perp \varphi|}, \quad (14)$$

где

— градиент функции $\varphi(u, v)$.

$$(3) \quad \sqrt{2} \quad (12) \quad , \quad [2].$$

, 2
 , ... 2

:

,

[5].

1.4 ,

-

,

.

.

,

[1].

,

.

,

,

[1]:

$$T(\mathbf{u}) = a_T(\mathbf{u})\exp[i\varphi_T(\mathbf{u})], \quad (15)$$

$$\mathbf{u} = (u, v) - \mathbf{1} \quad , \quad |T(\mathbf{u})| \equiv a_T(\mathbf{u}) \leq 1.$$

$$- T(\mathbf{u}) \text{ ----- } \text{-----}$$

(" ----- "):

$$T_{mn} \equiv T(m, n) = a_T(m, n) \exp(i\varphi_T(m, n)) =$$

$$a_T(u, v) \exp(i\varphi_T(u, v)) \Big|_{\substack{u=m\delta u, \\ v=n\delta v}}$$

$$T = \{T_{mn}\}, m = \overline{1, N_u}, n = \overline{1, N_v}. \quad (16)$$

[1].

фров

T_{mn} и

(15).

цифр

счета T_{mn} з

T_{mn} з

фаза-

я $\Psi_T(m, n)$

— $\varphi_T(m, n)$ за-

1.5



9 –

[4].

10-30

[1].

[5].

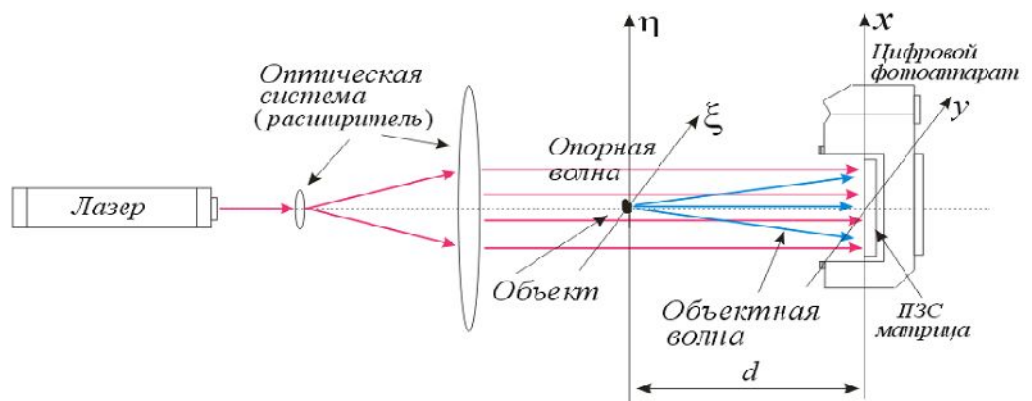
2

2.1

[1].

(-)

10.



10 –

d

(I(x,y))

(B(x,y))

(,)

(,) = I_{max}, I_{max} -

I(x,y) · (,)

2.2

[1].

Q(,)

(,)

d

$$Q(,) = \frac{1}{i\lambda} \cdot \frac{e^{i\frac{2\pi}{\lambda}d}}{i} \cdot \int_{-\infty}^{+\infty} I(x,y) \cdot B(,) \cdot e^{\frac{i\pi}{\lambda d}[(\xi-x)^2+(\eta-y)^2]} dx dy. \quad (16)$$

(16)

x y,

(16)

1.

(16):

$$Q(x, y) = \frac{1}{i\lambda} \cdot \frac{e^{i\frac{2\pi}{\lambda}d}}{d} \int_{-\infty}^{+\infty} E(\xi, \eta) \cdot e^{\frac{i\pi}{\lambda d}[(\xi-x)^2 + (\eta-y)^2]} d\xi d\eta, \quad (17)$$

$E(\xi, \eta)$ -

2. Голографическое изображение :

$$I(x, y) = |O(x, y) + B(x, y)|^2, \quad (18)$$

$O(x, y) = Q(x, y)$.

Получим голограмму (16) :

$$Q(\xi, \eta) = \frac{1}{i\lambda} \cdot \frac{e^{i\frac{2\pi}{\lambda}d}}{d} \cdot \left[e^{\frac{i\pi}{\lambda d}[(\xi^2 + \eta^2)]} \right] \cdot \iint_{-\infty}^{+\infty} I(x, y) \cdot B(x, y) \cdot e^{\frac{i\pi}{\lambda d}(x^2 + y^2)} \cdot \left[e^{-\frac{i2\pi}{\lambda d}[(\xi x + \eta y)]} \right] dx dy. \quad (19)$$

где $+1$ -

, -1 -

формулой:

$$\pm [f(x, y)](v_\xi, v_\eta) = \iint_{-\infty}^{+\infty} f(x, y) e^{\pm 2\pi i(v_\xi x + v_\eta y)} dx dy, \quad (20)$$

± 1 [] - , v_ξ, v_η -

(,)

между плоскостями d :

$$v_\xi = \frac{\xi}{\lambda d}, v_\eta = \frac{\eta}{\lambda d}. \quad (21)$$

(21)

(20)

$$Q(v_\xi, v_\eta) = \frac{1}{i\lambda} \cdot \frac{e^{i\frac{2\pi}{\lambda} \cdot d}}{\dots} \cdot \left[e^{i\pi\lambda d(v_\xi^2 + v_\eta^2)} \right] \cdot \mathfrak{F}^\pm \left[I(x, y) \cdot B(\dots) \cdot e^{\frac{i\pi}{\lambda d}(x^2 + y^2)} \right] \cdot (v_\xi, v_\eta). \quad (22)$$

NxM

(22) [2]:

$$Q(r \cdot \Delta v_\xi, s \cdot \Delta v_\eta) = \frac{1}{i\lambda} \cdot \frac{e^{i\frac{2\pi}{\lambda} \cdot d}}{\dots} \cdot \left[e^{i\pi\lambda d(r^2 \cdot \Delta v_\xi^2 + s^2 \cdot \Delta v_\eta^2)} \right] \cdot \sum_{n=-\frac{N}{2}}^{\frac{N}{2}-1} \sum_{m=-\frac{M}{2}}^{\frac{M}{2}-1} \left\{ I(n\Delta x, m\Delta y) B(n\Delta x, m\Delta y) e^{i\frac{\pi}{\lambda d}[(n\Delta x)^2 + (m\Delta y)^2]} \right\} e^{-2\pi i \left(\frac{rn}{N} + \frac{sm}{M} \right)}, \quad (23)$$

x, y – (между средними направлениями), n, m, r, s – $(N \cdot \Delta x, M \cdot \Delta y)$ – $v_\xi = \frac{1}{N\Delta x}, v_\eta = \frac{1}{M\Delta y}$ –

(NxM)

(20)

бразе...

$$= d \cdot \frac{1}{N\Delta x}, \quad = d \cdot \frac{1}{M\Delta y}. \quad (24)$$

(24)

$$S_G = N \cdot x$$

апиш :

$$\Delta \xi = d \cdot \frac{1}{N \Delta x} \Rightarrow \Delta \xi = \frac{\lambda d}{S_G} \Rightarrow S_I = \frac{\lambda d N}{S_G}$$

$$S_G = N \cdot x \Rightarrow S_I = N \Delta \xi \Rightarrow \quad (25)$$

N –

2.3

вертки:

$$Q(\xi, \eta) = [I(x, y)B(x, y)] \otimes h(\xi, \eta), \quad (26)$$

$$h(\xi, \eta) = \frac{1}{i\lambda d} \cdot e^{i\frac{2\pi d}{\lambda} \frac{i\pi}{e\lambda d}(\xi^2 + \eta^2)}$$

ор о свертке, выражение (26) :

$$Q(\xi, \eta) = \mathcal{F}^{-1} \left\{ \mathcal{F}^{+1} [I(x, y)B(x, y)] \cdot \mathcal{F}^{+1} \left[\frac{1}{i\lambda d} \cdot e^{i\frac{2\pi d}{\lambda} \frac{i\pi}{e\lambda d}(\xi^2 + \eta^2)} \right] \right\}, \quad (27)$$

ющим юшен :

$$f \otimes h = (f) \cdot \mathfrak{Z}(h). \quad (28)$$

$$: = x_i = y,$$

$$- \quad S_I = S_G.$$

P

φ ВОССТАНОВЛЕННОГО П

:

$$P = |Q(r \cdot \Delta\xi, s \cdot \Delta\eta)|. \quad (29)$$

$$\varphi = \operatorname{arctg} \left[\frac{(Q(r \cdot \Delta\xi, s \cdot \Delta\eta))}{(Q(r \cdot \Delta\xi, s \cdot \Delta\eta))} \right], \quad (30)$$

r,s-

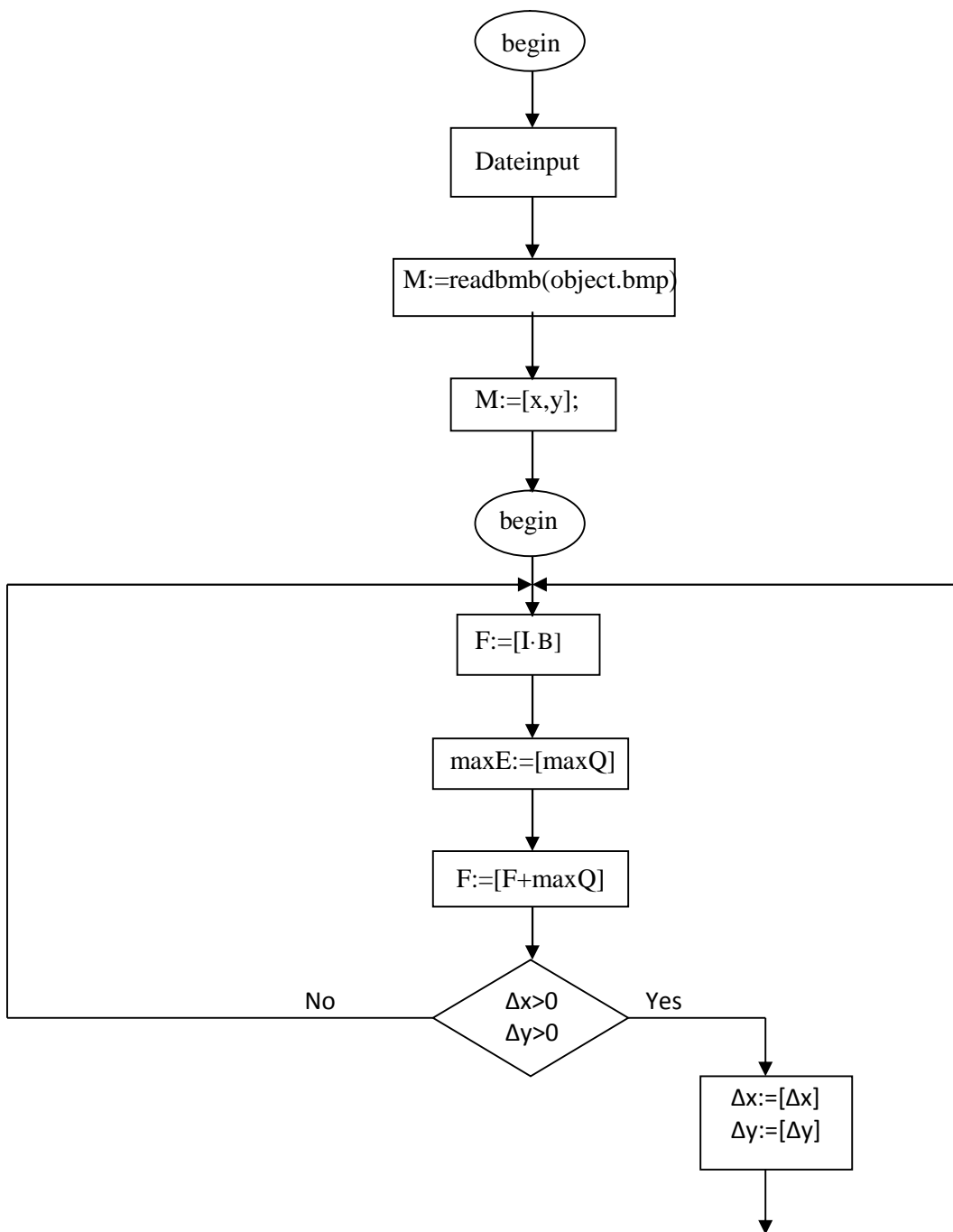
, , -

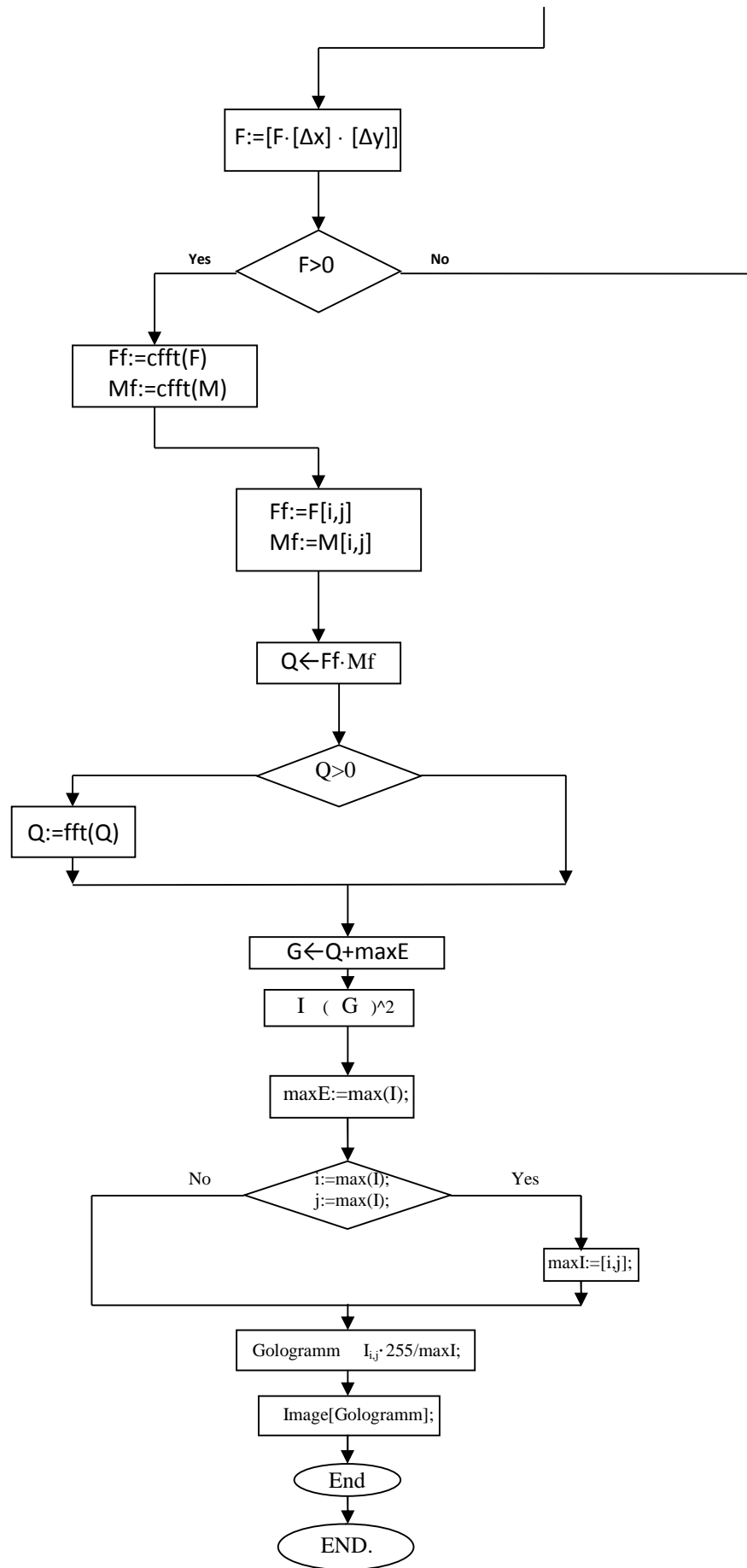
.

,

,

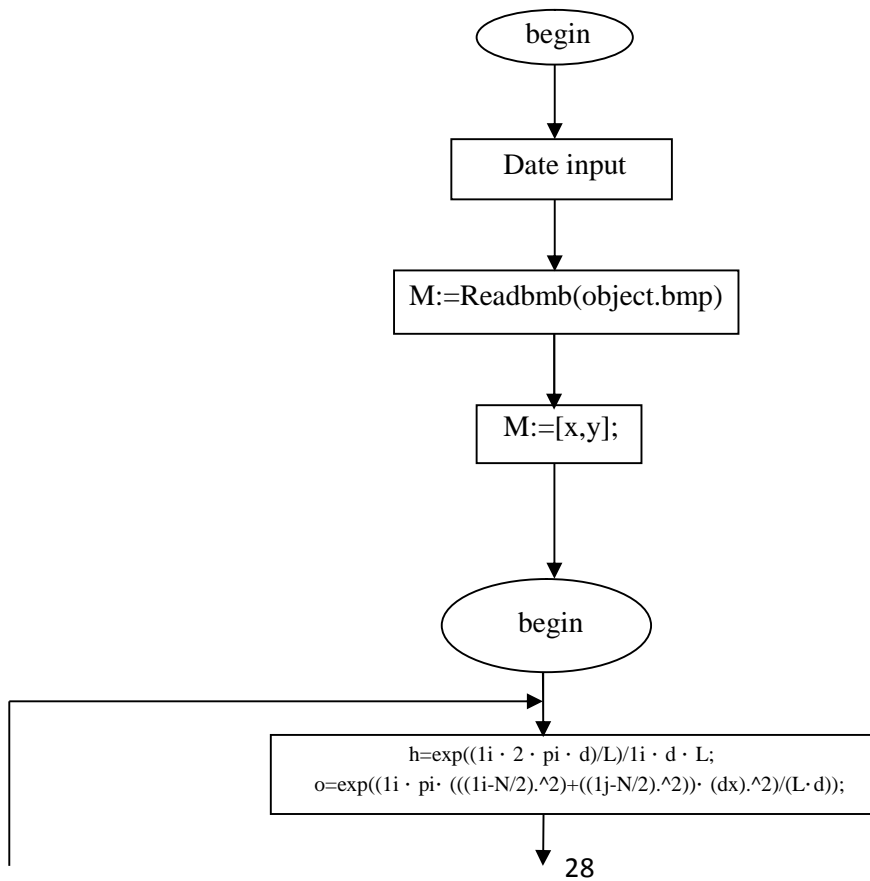
[- ,].

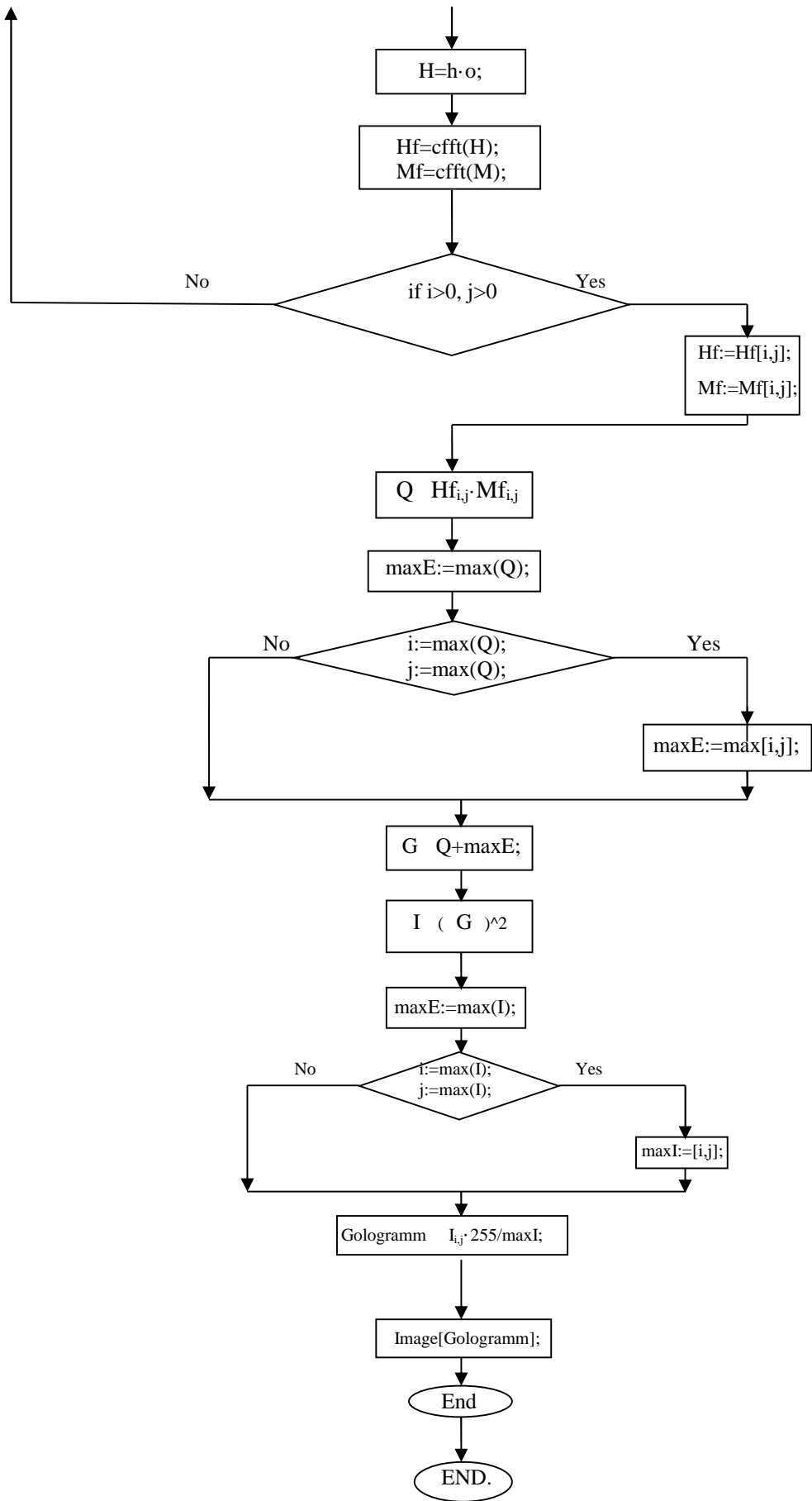




MathCAD,

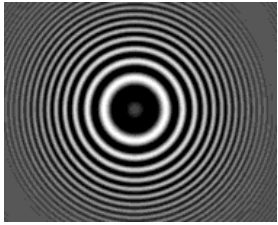
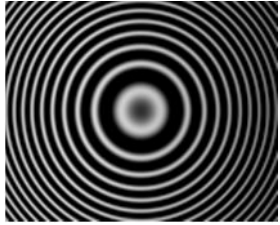
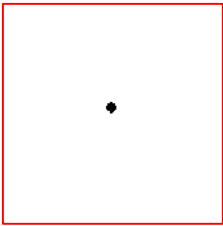
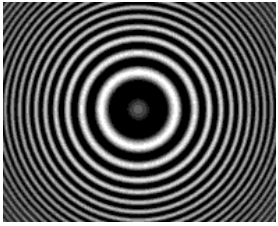
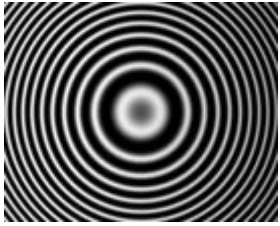
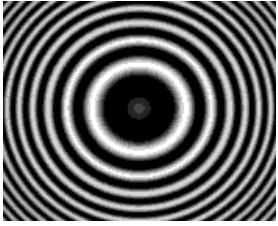
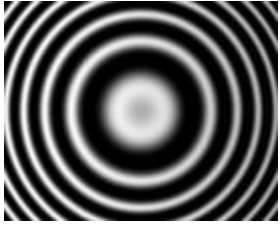
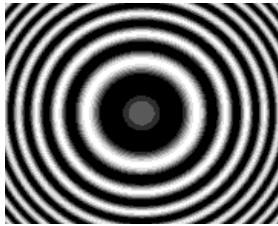
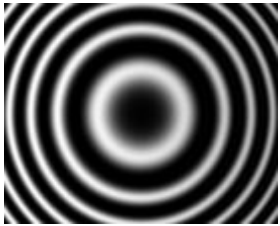
12.





" " " -
" " " -
.
.
.
:
(), , , , .

: (), , , ,
 . 1
 , " " " "
 1 - ()

-		-	" "	" "
1	() -	30		
2		50		
3		70		
4		90		


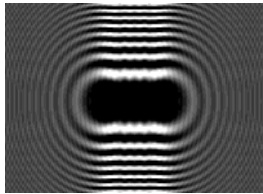
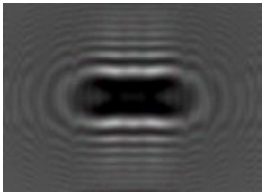
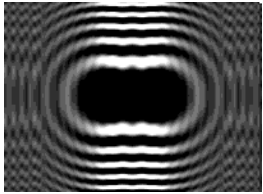
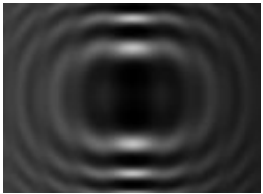
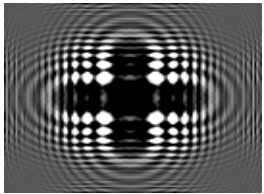
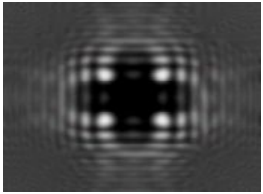
1, , -
 , " , , -
 , " , -
 , " " ,
 " " , ,
 (25). ,
 " " , -
 " " , " , -
 , , " " , ,
 () -

2
 ()
 2-

	-	" - "	" - "
1	30	88%±0.4%	83%±0.5%
2	50	79%±0.6%	72%±0.6%
3	70	71%±0.7%	61%±0.5%
4	90	64%±0.7%	53%±0.7%

30 .

,
 .
 .
 : , , 5 ,
 .
 3 :
 (60), (60
), 5 (200 200 -
), (60).
 3-

		-	()	" - " "	"
1		30	60:1		
2		60			
3	- -	30	60:1 :		

также :

$$\eta = \frac{I_1}{I_0} \cdot 100\% = \frac{\langle h_i \rangle}{\langle h_k \rangle} \cdot 100\%, \quad (31)$$

I_1 – инт

, I_0 – инт

, h_i –

, h_k –

, i, k –

и

h_k

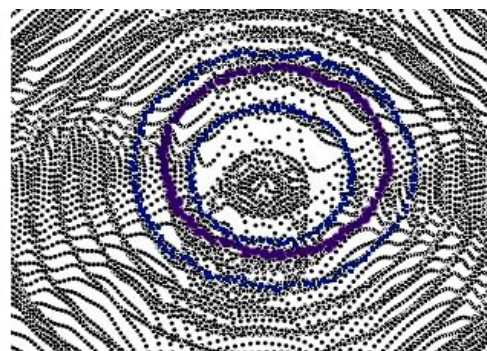
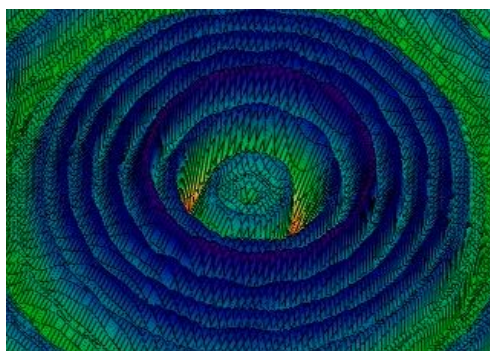
о,

13.

h_i

()

13



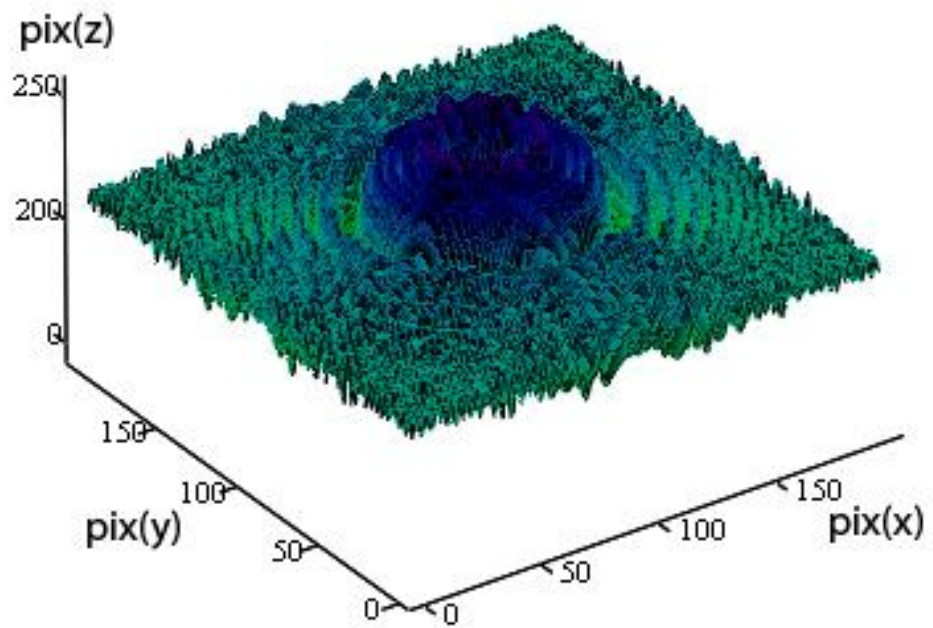
(31)

():

$$\eta = \frac{\langle h_i \rangle}{\langle h_k \rangle} = \frac{\left(\frac{\langle h_{i_E} \rangle + \langle h_{i_{BF}} \rangle}{2} \right)}{h_k}, \quad (32)$$

$h_{i_B} -$, $h_{i_B} -$ -

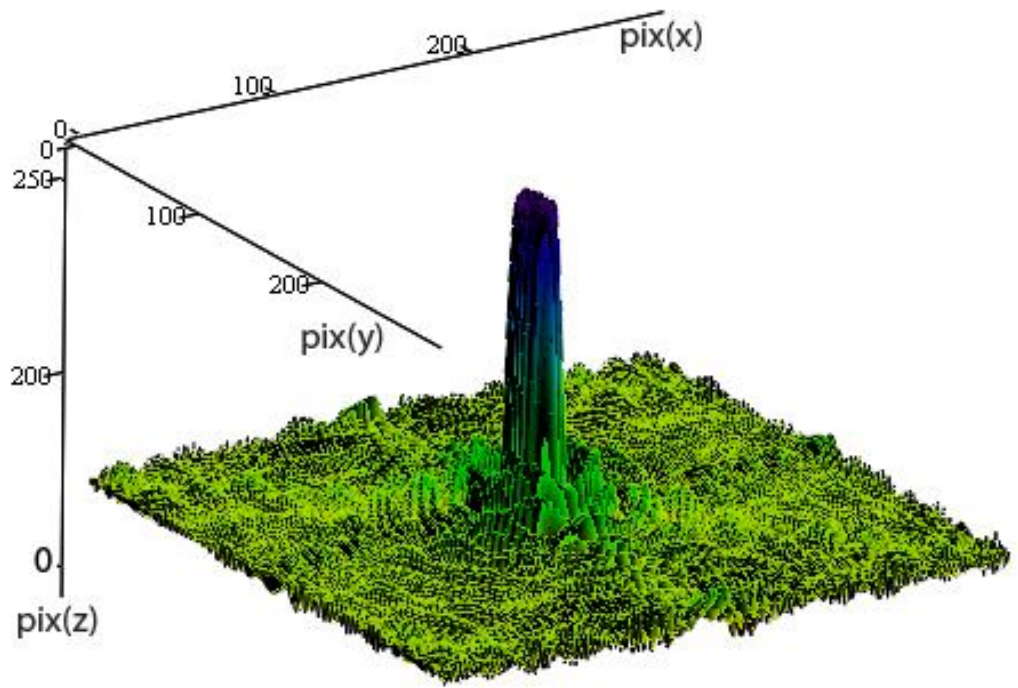
14



14 -

(32), -

h_k , 15

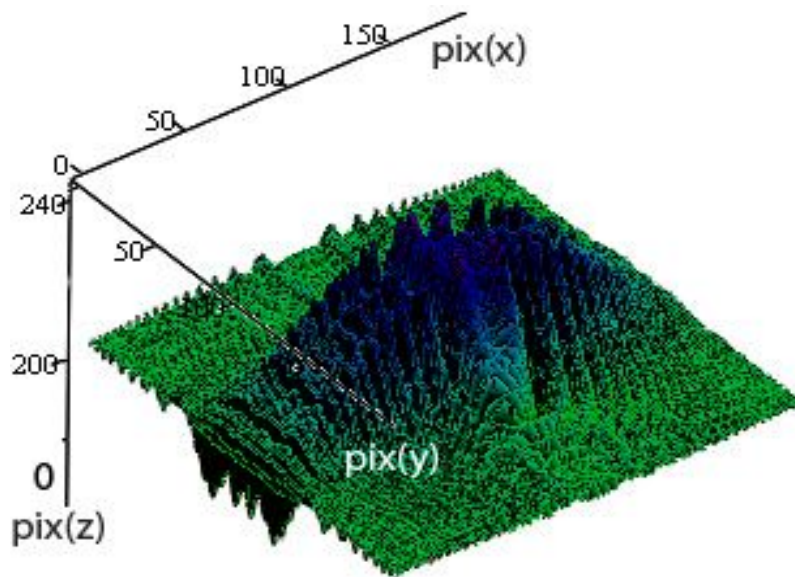


15 –

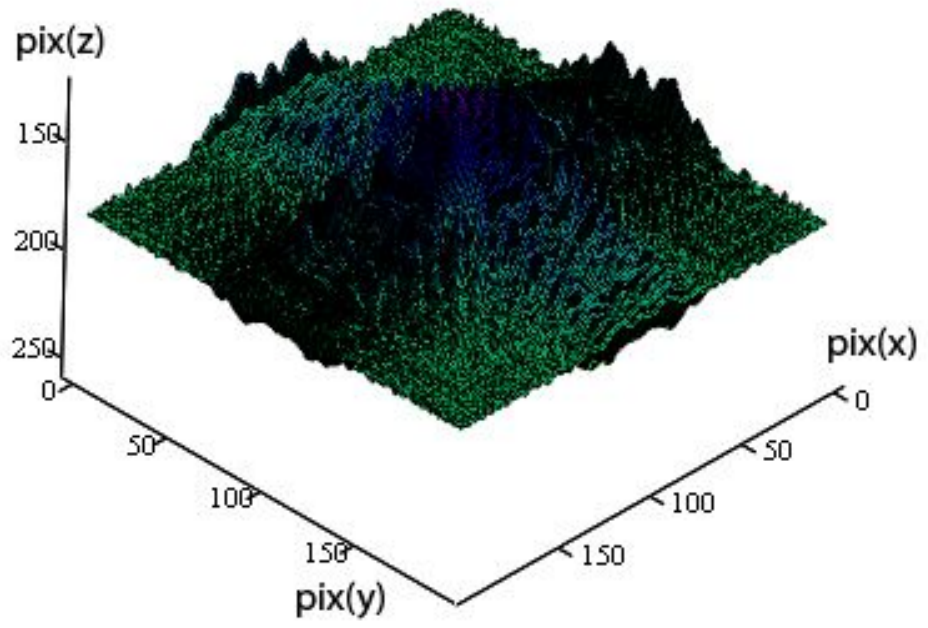
()

(32)

16-17



16 –



17 -

5

(32)

,

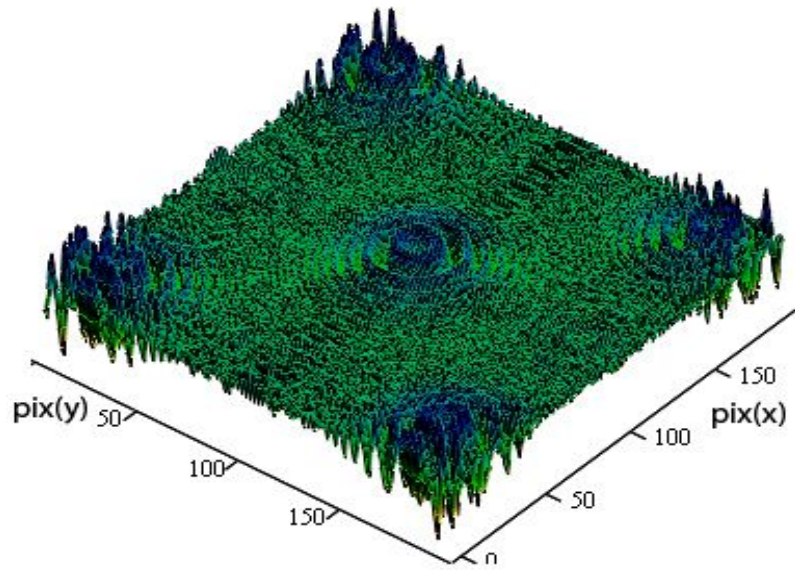
5

.

18 -

5

.



18 -

5

(5)

, , -
, MathCAD,
: 2-D , -

. -
 . -
 . -
 (), , , , , : -
 . :
 1. , -
 , , , -
 30 ; -
 2. , -
 , , -
 ;
 3. , , " " .
 " , " " .

1. Kyrish M., Richards-Kortum R., Tkaczyk T. // Proc. SPIE. 2009. - V. 7558. - P. 685-690.
2. Kyrish M., Richards-Kortum R., Tkaczyk T. // Proc. SPIE. 2009. - V. 7558. - P. 207-212.
3. Kyrish M., Improving spatial resolution of a fiber bundle optical biopsy system / Kyrish M., Kester R., Richards-Kortum R., Tkaczyk T. // Proc. SPIE. 2010. V.7558. P.755807.
4. Nomura, T. Research methods of recording overlapped holograms in archival holographic memory. – Publisher: Optics&PhotonicsJapan, 2014.-6a - DS1.
5. Saita, Yu., Nomura T. // Optics&PhotonicsJapan. 2013. – V. 12. – P. 1-6.
6. Saita, Yu. Multilevel recording characteristics on holographic memory applied phase gradient coding / Saita Yu., Nomura T.// Optics&PhotonicsJapan. 2015. 6p - E10.
7. Saita, Yu., Nomura T. // Optics&PhotonicsJapan. 2009. – V. 10. – P. 2-4.
8. Ghebremichael F., Holography-based wavefront sensing / Ghebremichael F., Andersen G.P., Gurley K.S. // Appl. Opt. – 2008. – V. 47. – P. A62 – A69.
9. Zepp A., Holographic wavefront sensor for fast defocus measurement / Zepp A., Gładysz S., Stein K. // Advanced Optical Technologies. – 2013. – V. 2, – P. 5 – 6. P.433–437.
10. Kutanov A.A., Direct laser recording of dot holograms on a-Si film / Kutanov A.A., Snimshikov I.A. // Proceeding Optics&Photonics. Japan, – 2011.–P.30a – P - S2.

11. . . / . . -
 // .-2008.- .126. 4.- .681-683.
12. . ., - / . ., -
 . ., . ., . ., . .// .-
- 2012.- 3-4.- C.3-11.
13. . . / .
 :- : ,2006.- 616 .
14. . . / . ., . :- :-
 ,2009.- 140 .
15. . . 1. -
 // . -2001.- 2. -
- C.118-124.
16. . . / . .// -
 .-2007.- .74.- 1.- .45-51
17. . . -
 / . .// .-2006.- .71.- 12.- .62-68
18. . . / . :- :- -
 . . . ,2009.- 124 .
19. . . -
 / . :- :- - ,2008.- 90 .
20. . ., -
 / . ., . ., . :- - : -
 ,2012 - 355 .